

風·波·地震の連成を踏まえた 洋上風力発電施設の応答解析

国立研究開発法人 海上・港湾・空港技術研究所 (うみそら研) 港湾空港技術研究所 (港空研, PARI) 海洋利用研究領域 海洋利用研究グループ

加島寛章

<u>自己紹介(加島寛章,Hiroaki Kashima)</u>



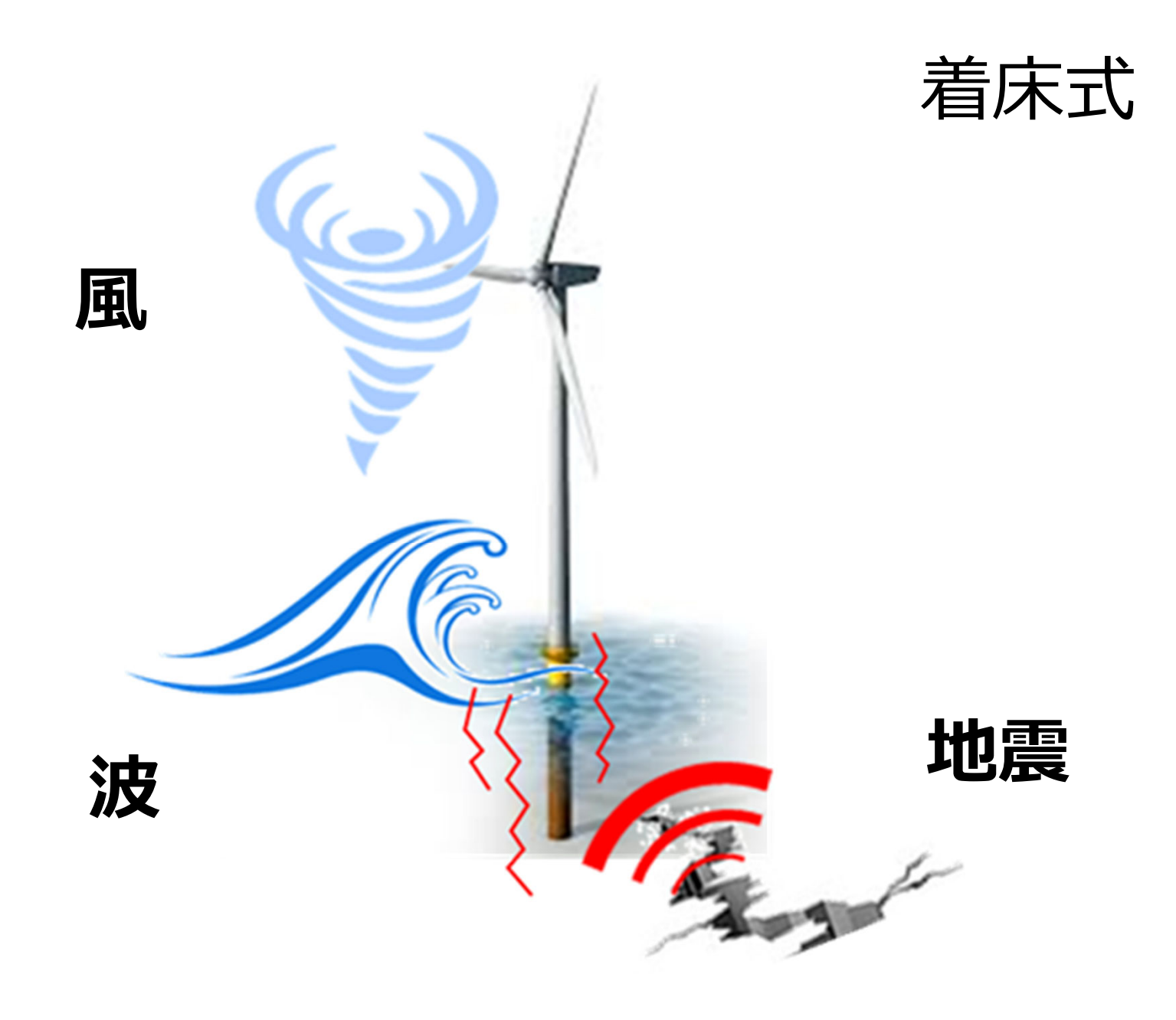
略歷

- 港湾空港技術研究所 海洋利用研究領域
- 海洋利用研究グループ グループ長
- 東京海洋大学学術研究院 海洋AI開発評価センター 准教授(クロスアポイントメント制度)
- 海洋インフラ・洋上風力技術センター 併任
- 博士(工学)(京都大学:2014.3,主査:間瀬肇教授):海岸工学分野 「浅海域における暴波浪の特性解明と港湾・海岸構造物の設計法への応用」
- 修士(工学) (大阪市立大学:2007.3,主査:角野昇八教授):海岸工学分野 「気液混相流場における気泡運動の画像計測法の開発と砕波帯への応用」
- 研究分野:海洋波・沿岸波の力学、風車力学
- 研究キーワード:うねり,極大波(一発大波),越波・浸水現象,洋上風車応答解析
- 所属学会: 土木学会、日本風力エネルギー学会



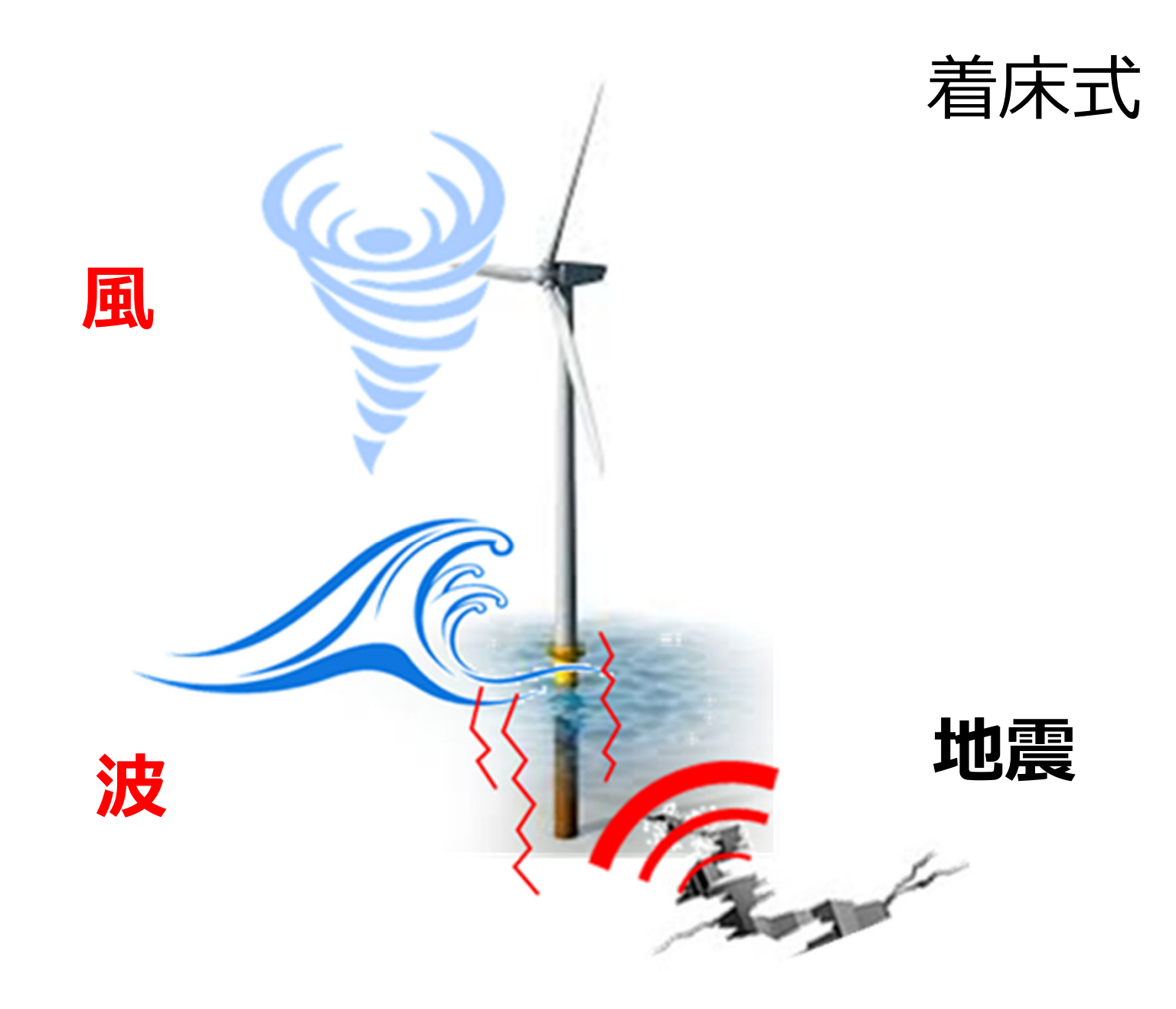
2007年 4月 ~ 2014年 3月 港湾空港技術研究所 波浪研究グループ 研究官 2014年 4月 ~ 2016年 7月 港湾空港技術研究所 波浪研究グループ 主任研究官 港湾空港技術研究所 海洋インフラ技術推進センター (併任)
2015年 7月 ~ 2016年 6月 IFREMER
2016年 8月 ~ 2019年 3月 国土交通省 港湾局 技術企画課 技術監理室 課長補佐
2019年 4月 ~ 2022年 9月 港湾空港技術研究所 海洋利用研究グループ 主任研究官
港湾空港技術研究所 海洋インフラ・洋上風力技術センター (併任)
│ 2022年 10月 ~ 現
港湾空港技術研究所 海洋インフラ・洋上風力技術センター (併任)
│ 2023年 6月 ~ 現 在 東京海洋大学学術研究院 海洋AI開発評価センター 准教授(クロスアポイントメント)



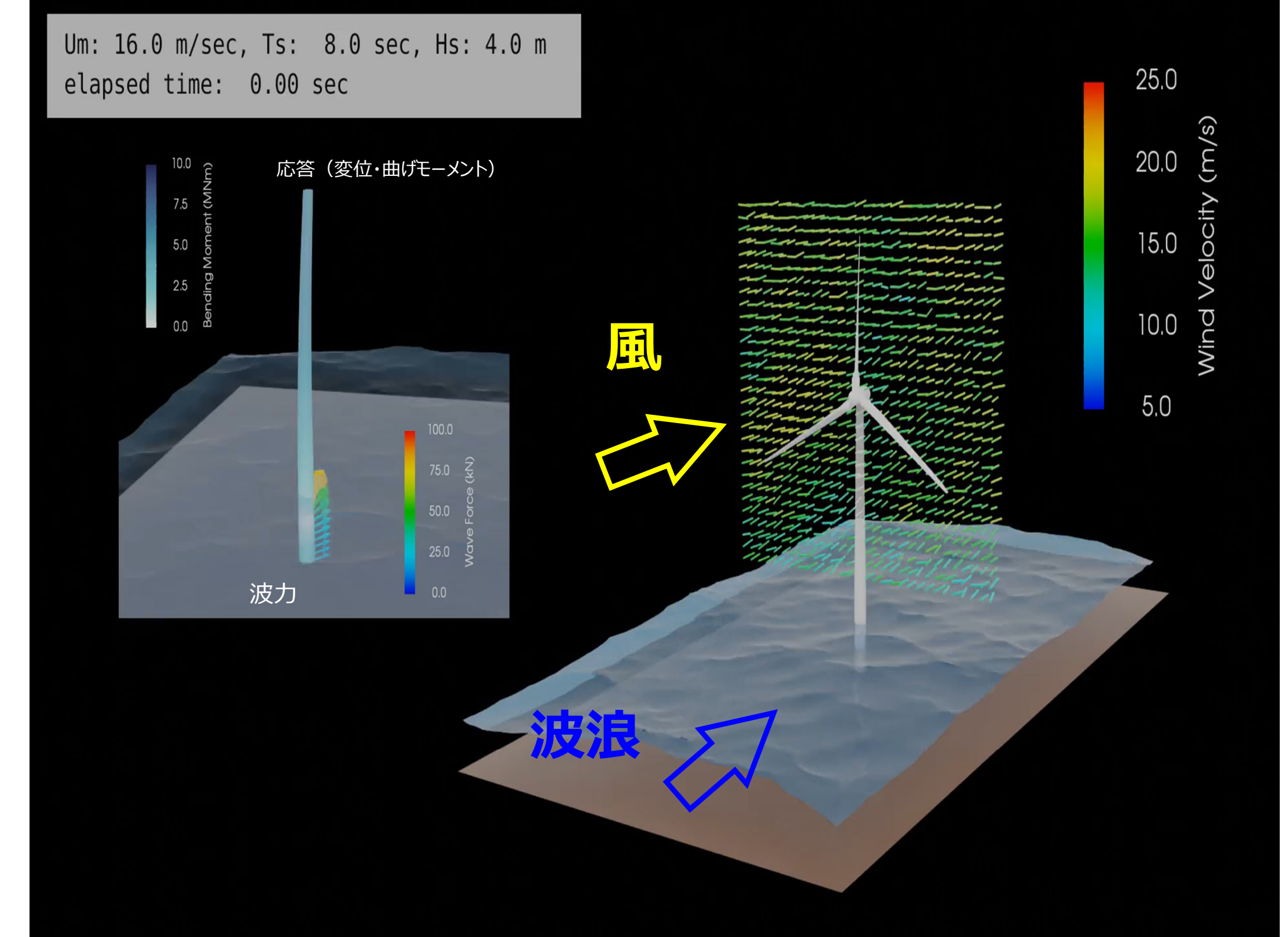










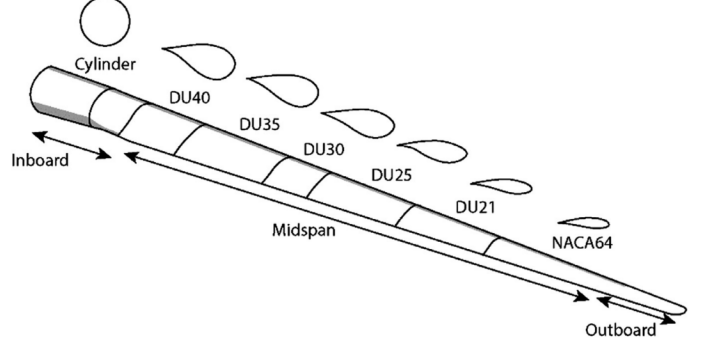




諸元値

- ●5MWモノパイル型洋上風車モデル
 - ●IEA Wind TCPの解析コード比較検証で採用された定格出力





現日	超 无他	
←	高度	M.S.L.+87.6 m
タワー頂部	径	3.87 m
	厚さ	19 mm
	高度	M.S.L.+10 m
タワー基部	径	6 m
	厚さ	27 mm
モノパイル部	高さ	30 m
	径	6 m
	厚さ	60 mm
ハブ	高度	M.S.L.+90 m
ブレード	長さ	61.5 m
カットイン風速	3 m/s	
定格風速	11.4 m/s	
カットアウト風	25 m/s	

頂目





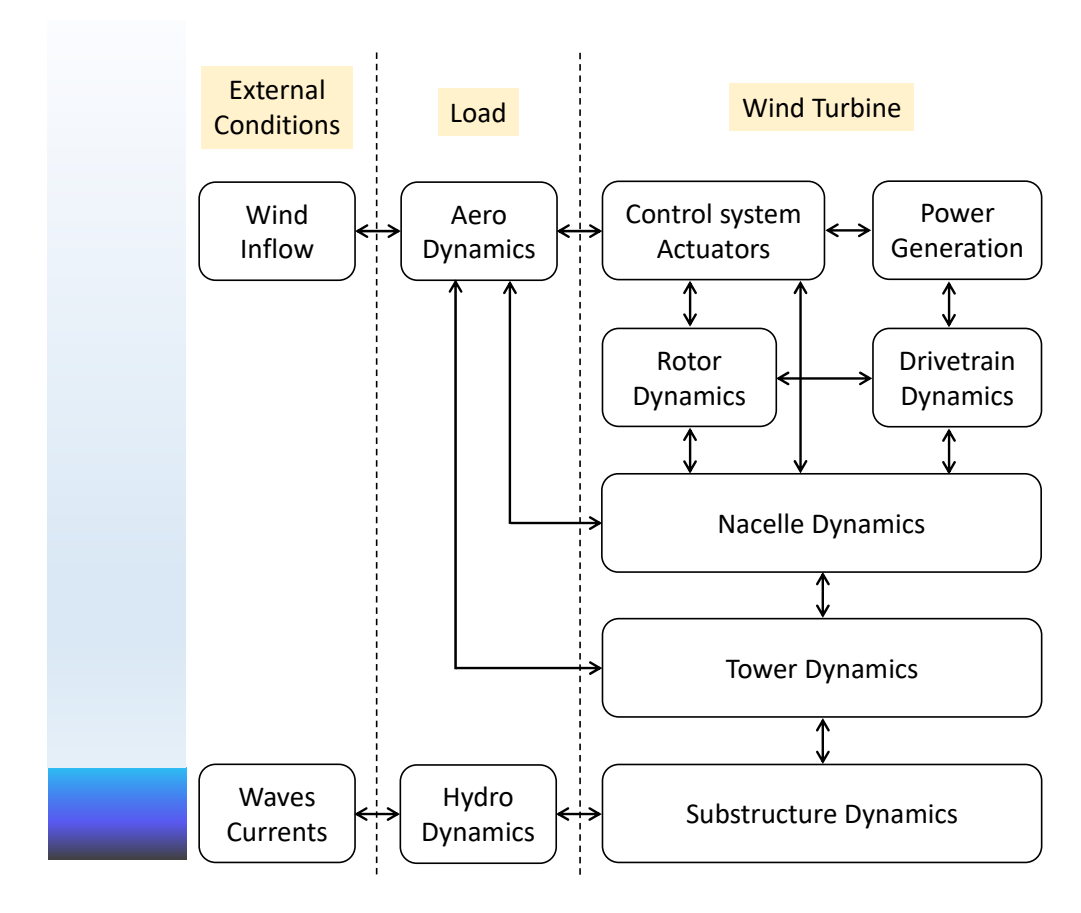
OpenFAST (NREL, 2021)

●空力弾性解析 : 翼素運動量理論

●流体力解析 : モリソン式 (構造物の振動を考慮)

●振動解析:モーダル法,マルチボディダイナミックス法

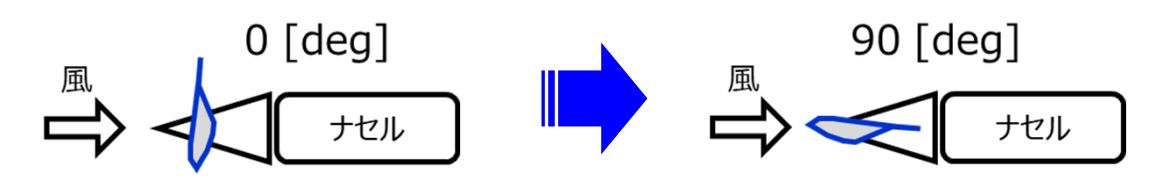
※ 地盤-構造物の相互作用, 砕波力は未考慮



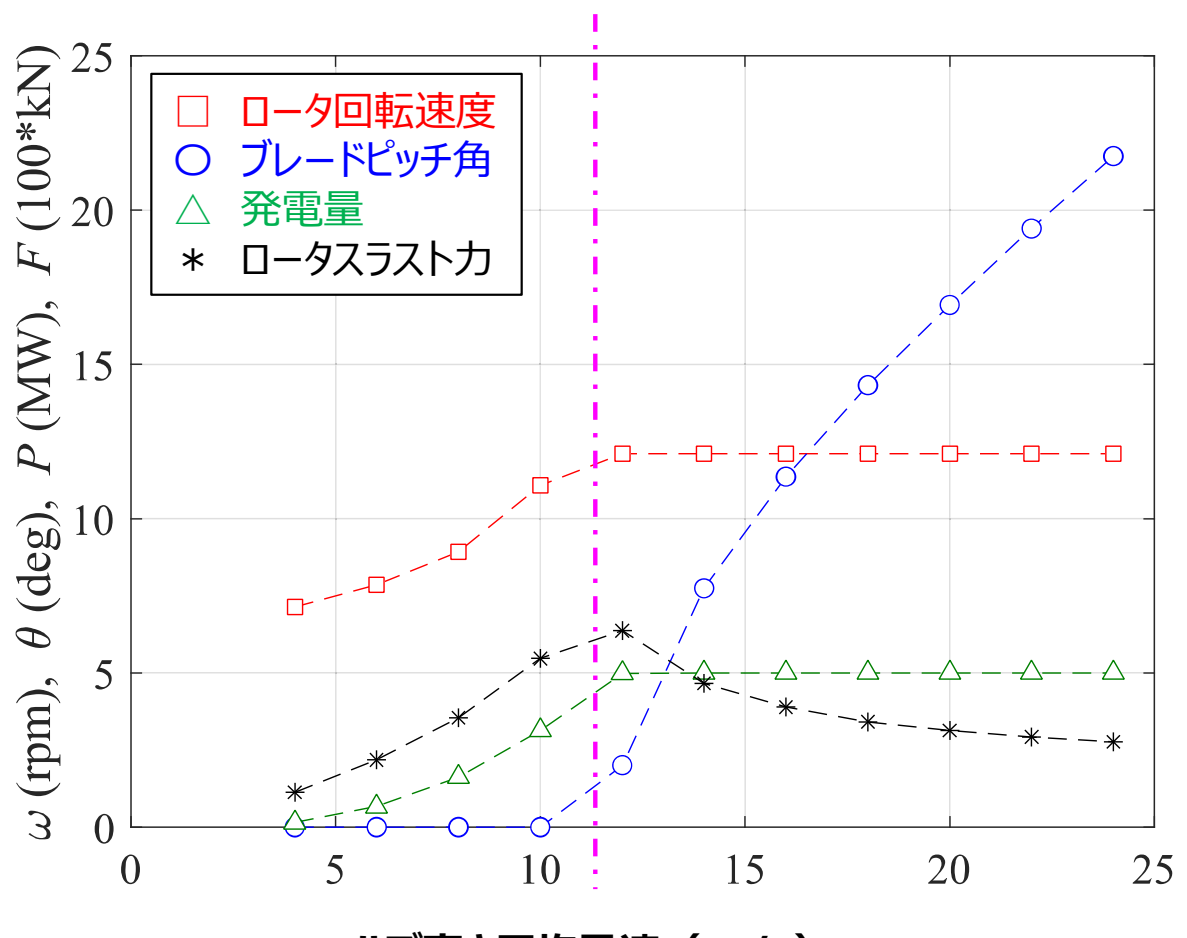


一定風が作用した時の風車応答





定格風速: 11.4 m/s



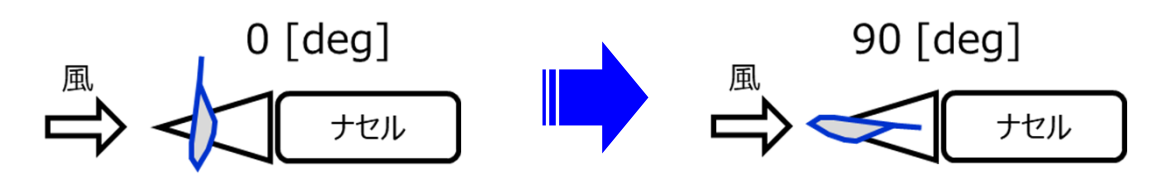


ハブ高さ平均風速(m/s)

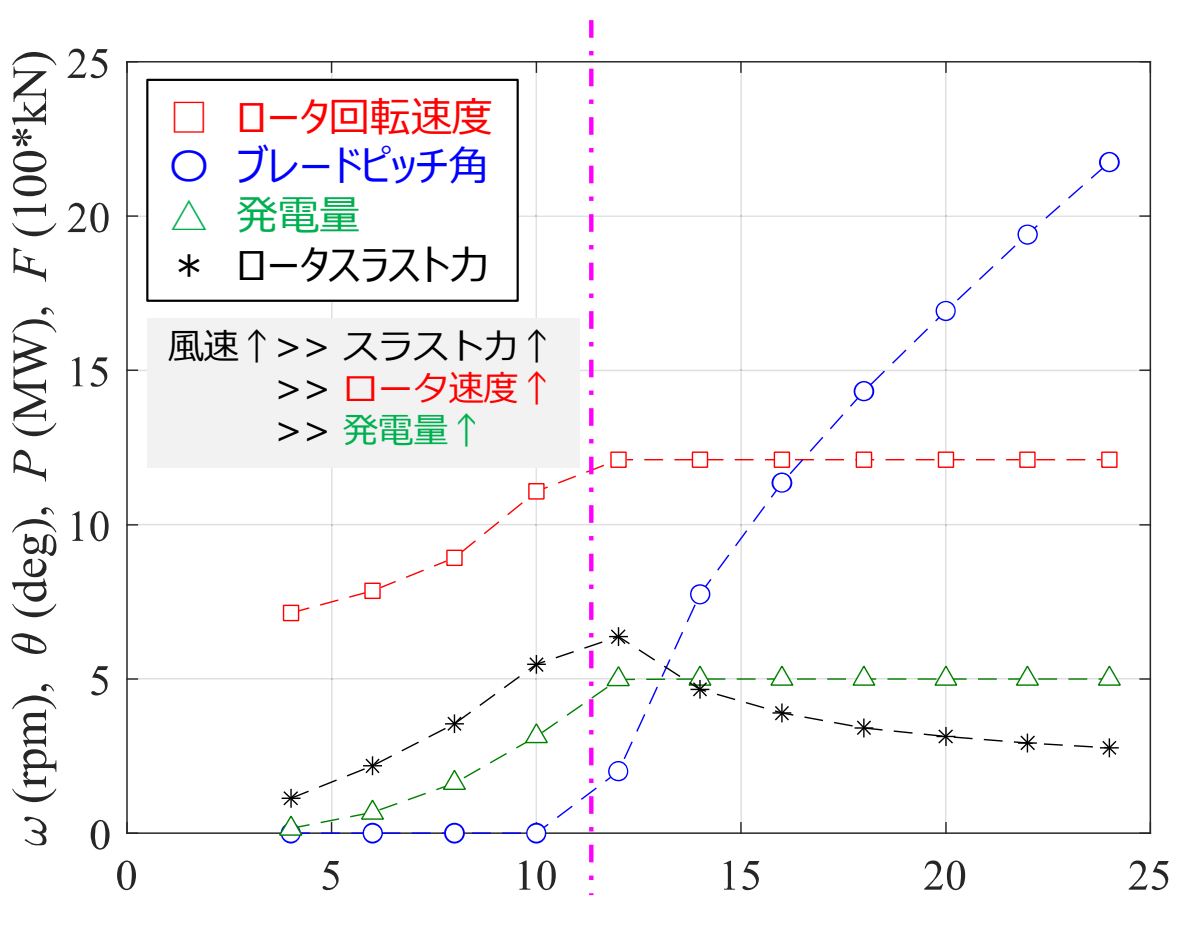


一定風が作用した時の風車応答





定格風速: 11.4 m/s

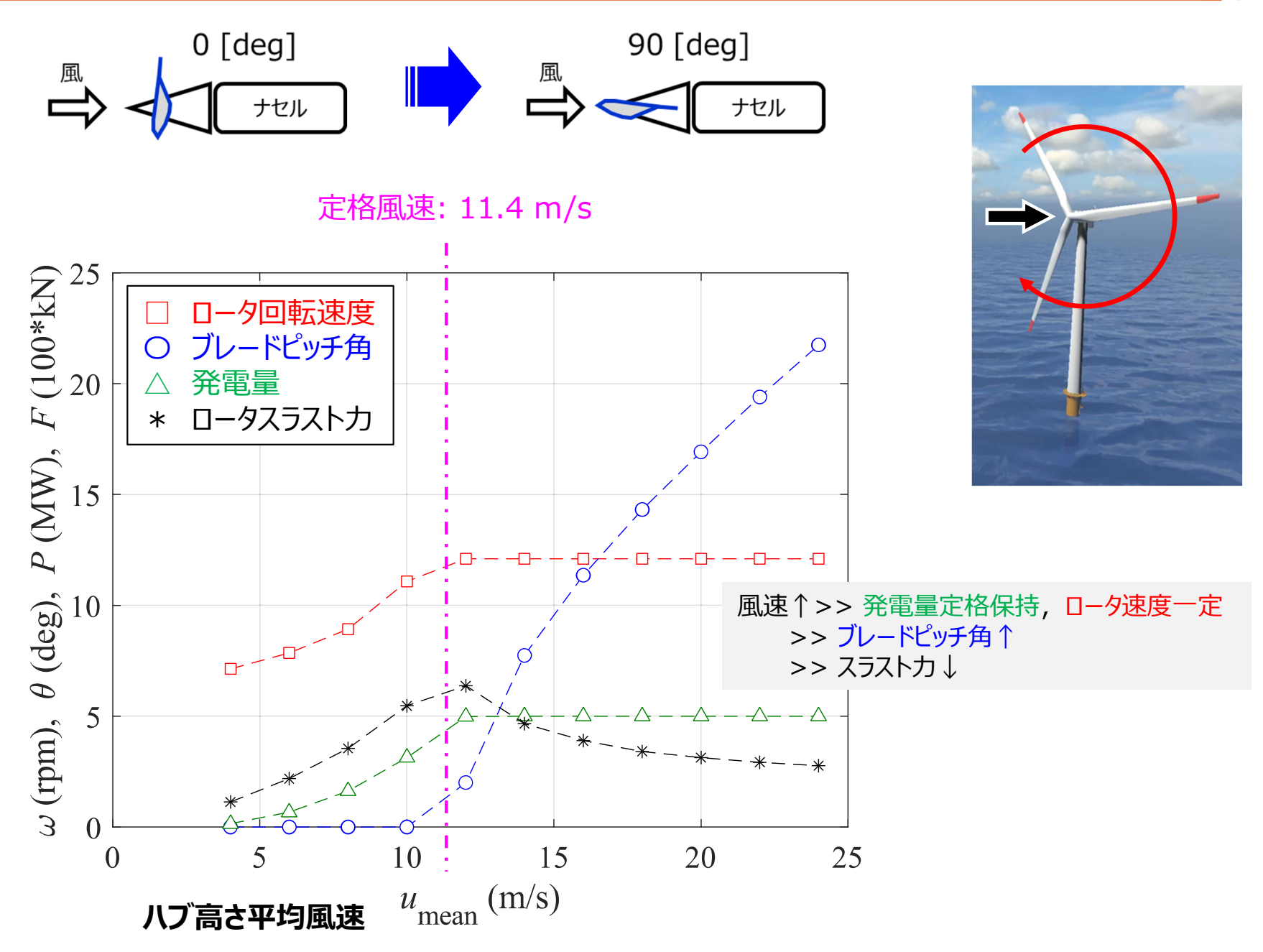






一定風が作用した時の風車応答







変動風が作用した時の風車応答



●ハブ高さ平均風速:12 m/s ≒ 定格風速

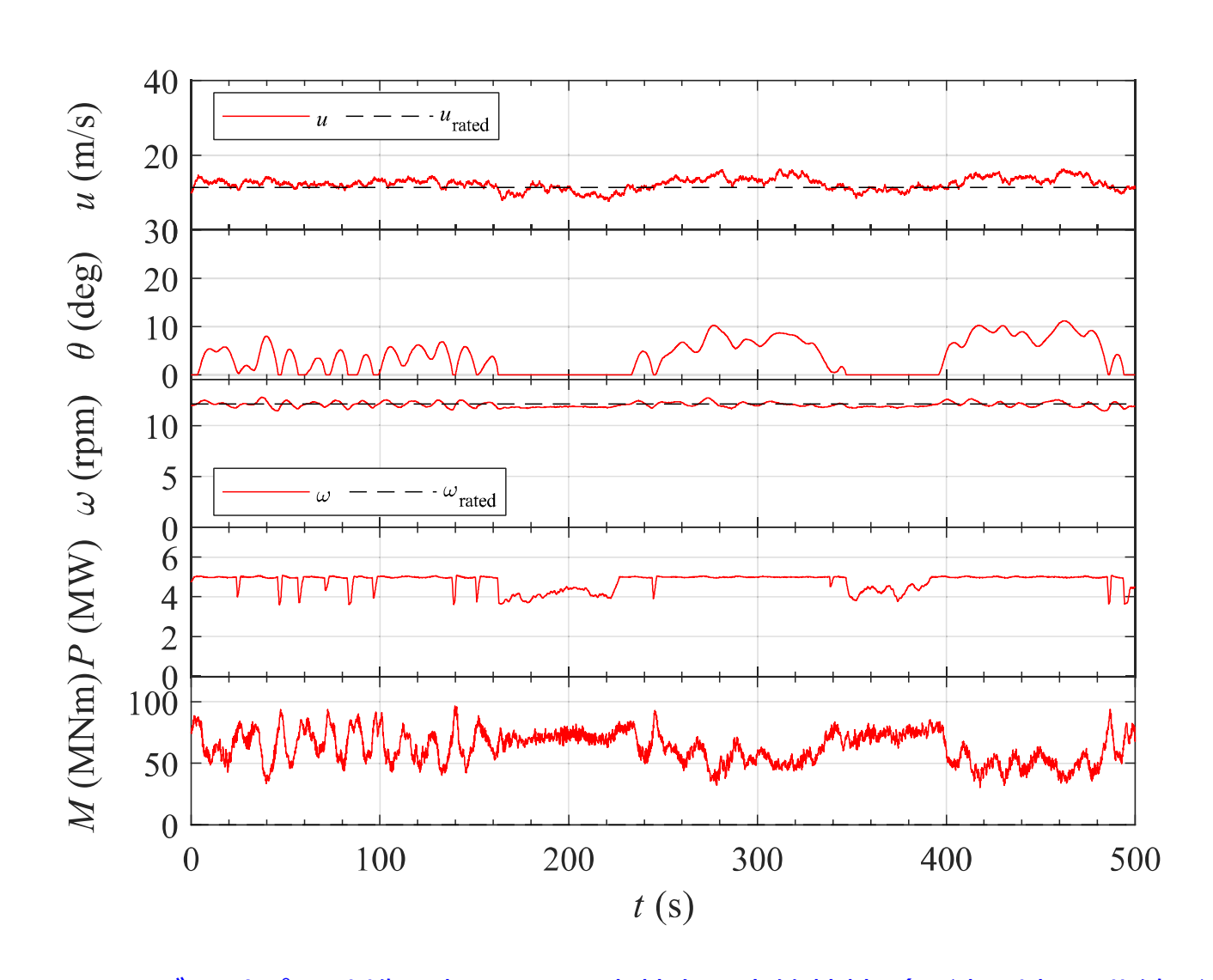
ハブ高さ風速

ブレードピッチ角

ロータ回転速度

発電量

曲げモーメント スラストカ×高さ



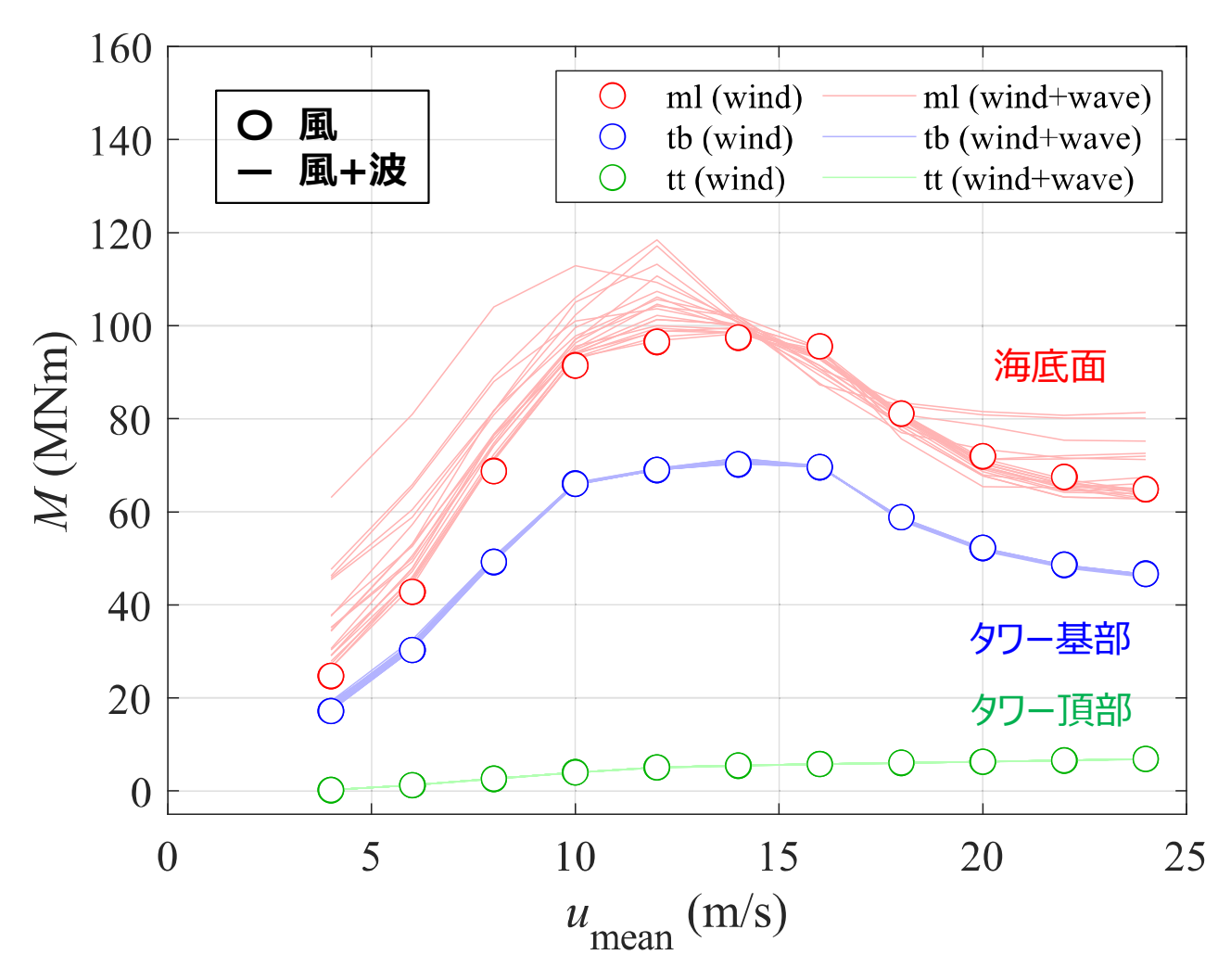
ブレードピッチ制御に起因する風車特有な応答特性(風速に対して非線形な応答)

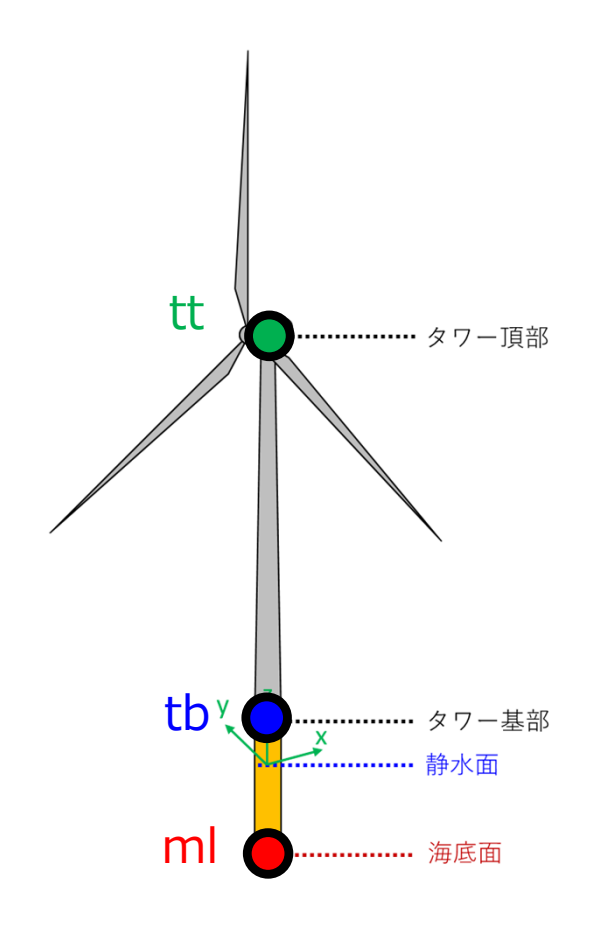


風と波が同時作用した時の風車応答



最大曲げモーメント





ハブ高さ平均風速

海底面において波の影響が極大



風と波が同時作用した時の風車応答



●ハブ高さ平均風速:12 m/s ≒ 定格風速,波高:8 m,波周期:16s

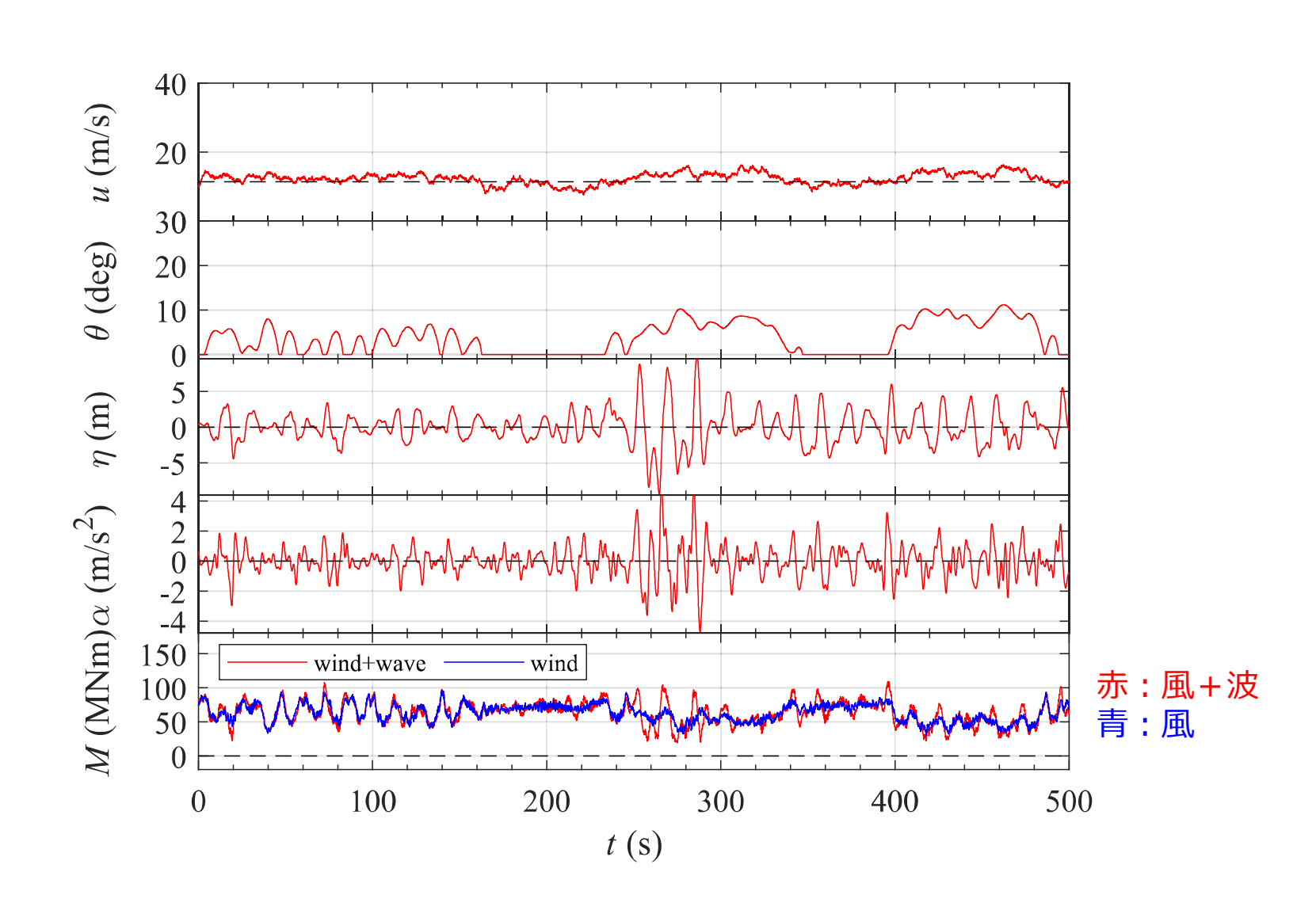
ハブ高さ風速

ブレードピッチ角

水位変動

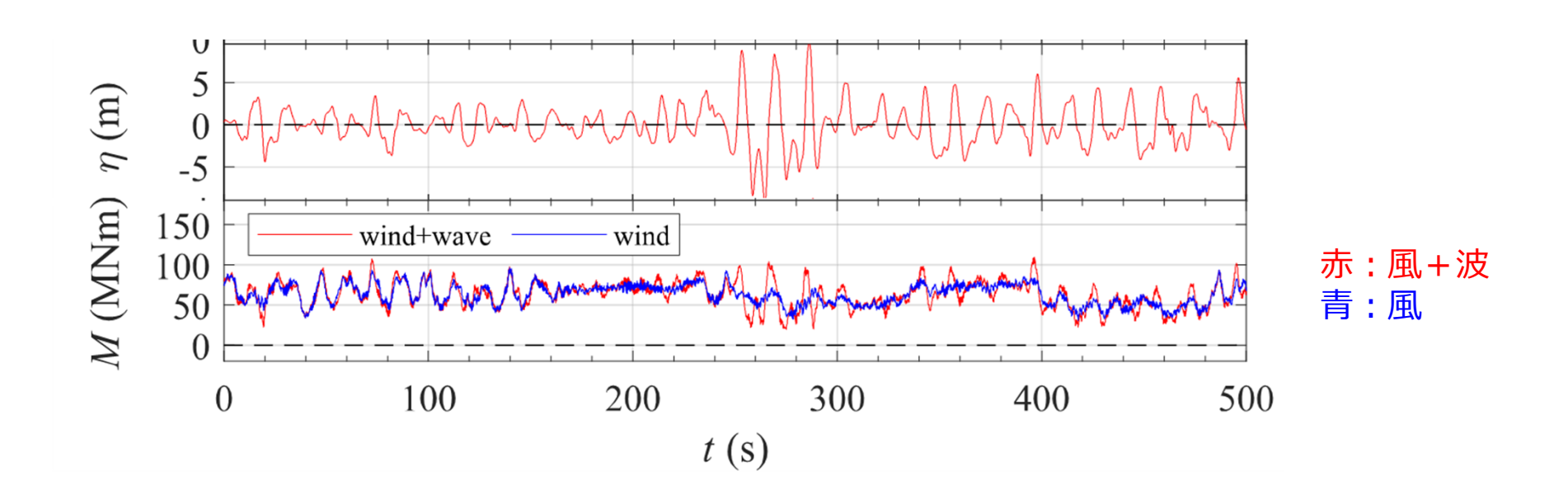
水粒子運動加速度

曲げモーメント スラストカ×高さ



波作用による風車応答の増幅効果





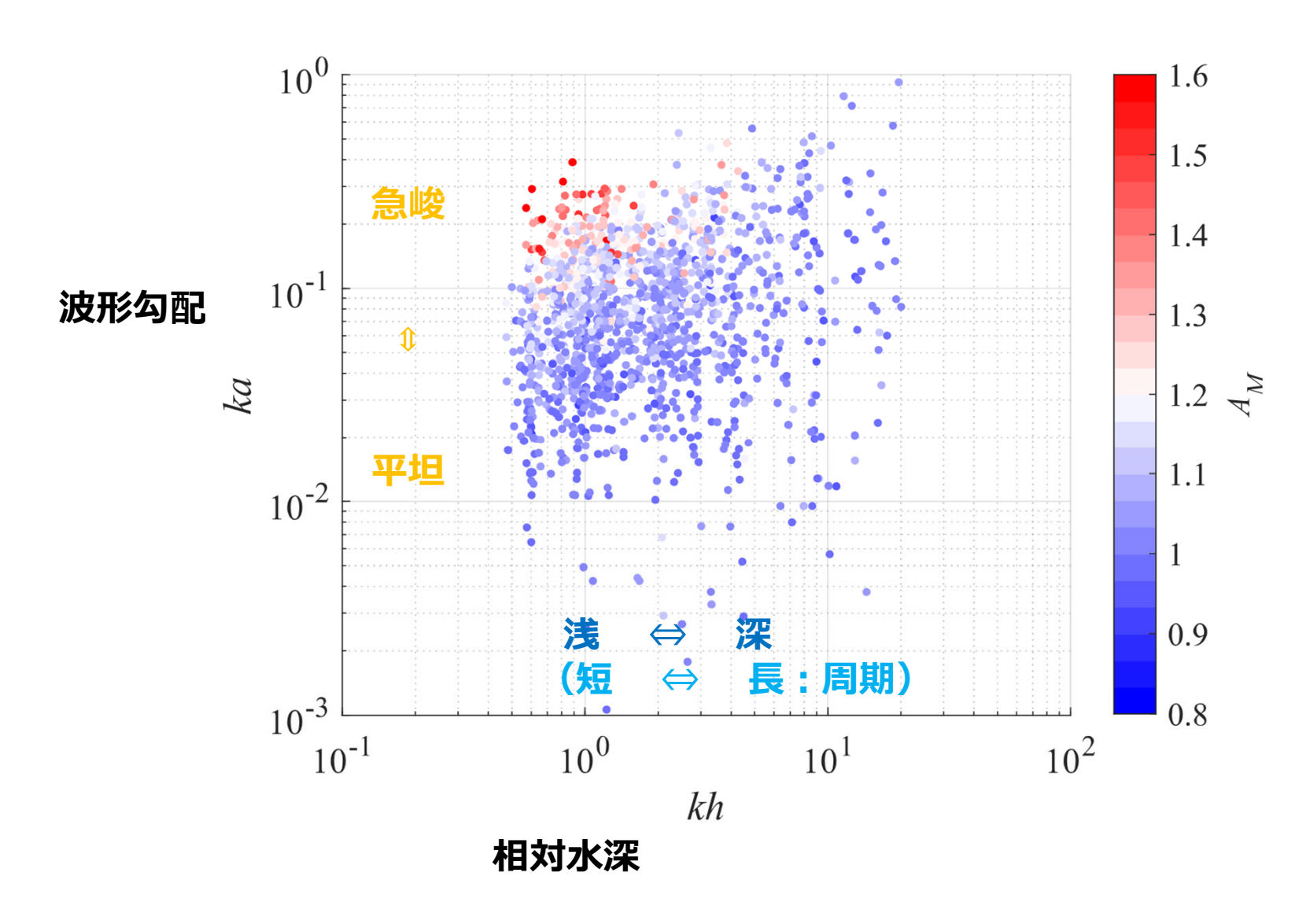
波による曲げモーメント の増幅率(A_M) 波・風荷重作用下における個々波に対応する曲げモーメント

風荷重作用下における個々波に対応する曲げモーメント

波作用による風車応答の増幅効果



●ハブ高さ平均風速:8 m/s << 定格風速





風車応答の簡易推定



静的解析(力のつり合い)

①風荷重=ロータに作用する荷重

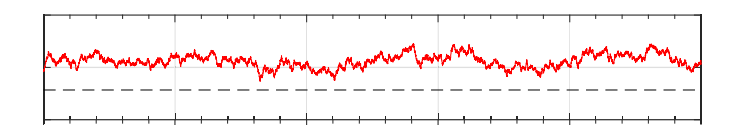
$$F_{wind}^{mean} = \frac{1}{2}\rho_a u_{\rm m}^2 C_T \pi R^2$$

2) 最大風荷重 (石原·石井, 2010)

$$F_{wind}^{max} = G_D F_{wind}^{mean}$$

動的解析(時刻歷解析)

①風荷重=風速変動



②波荷重=モリソン式による荷重

$$F_{wave} = \int_{-h}^{0} \frac{1}{2} C_D \rho_w \, dv^2 dz + \int_{-h}^{0} C_M \rho_w \frac{\pi d^2}{4} a dz$$

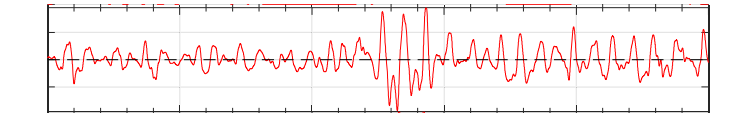


海底面

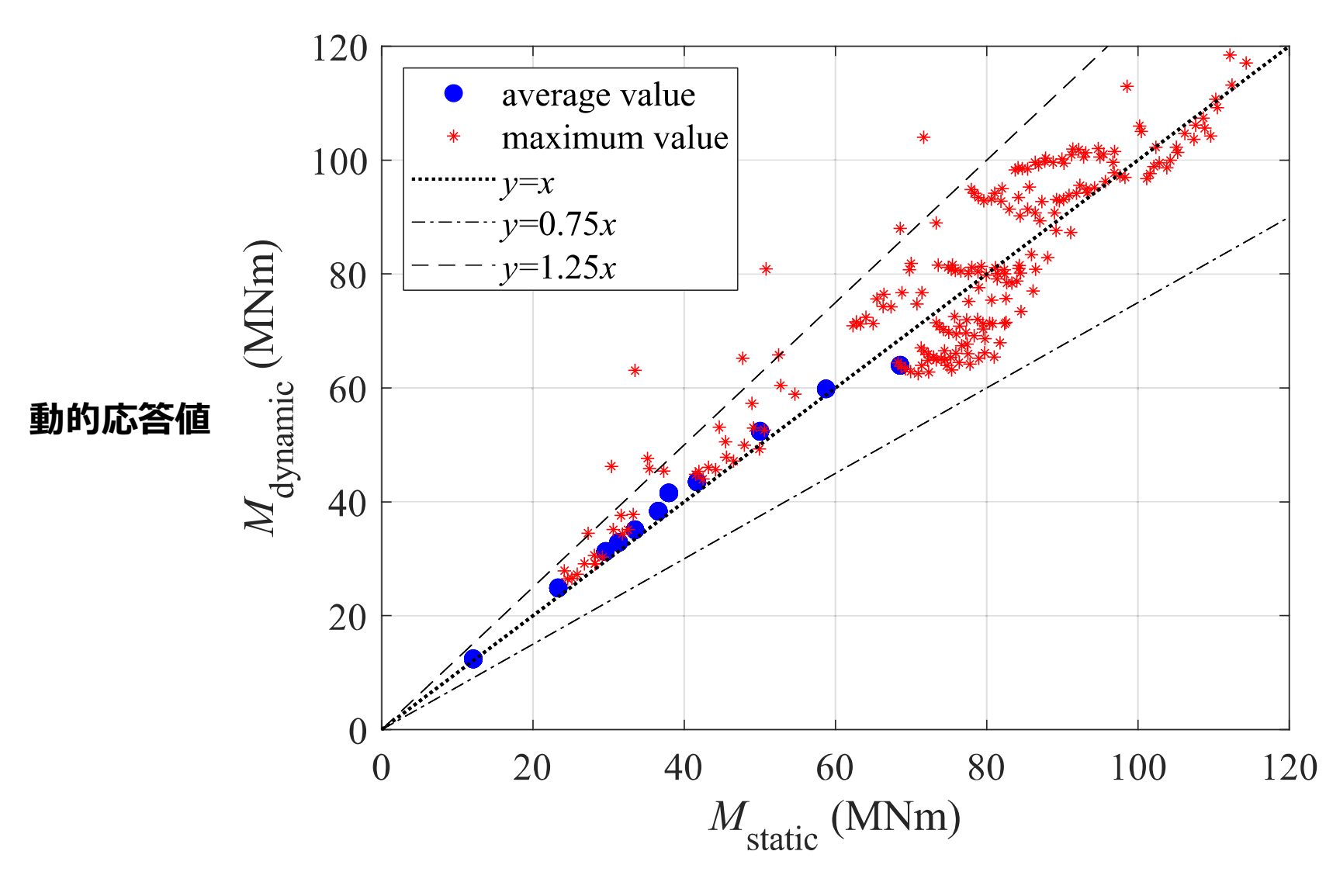
タワー基部

タワー頂部

②波荷重=水位変動



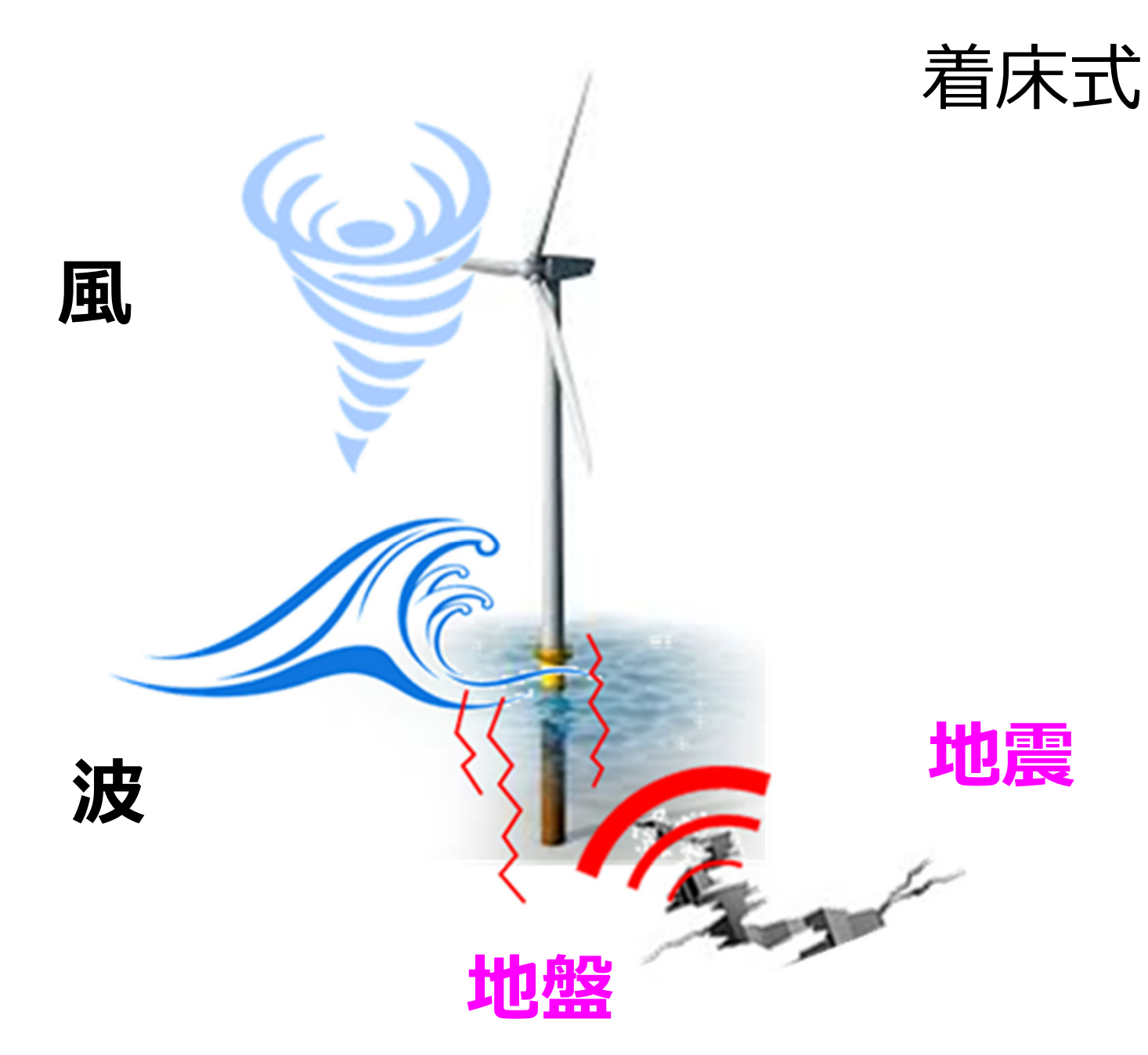




静的応答値





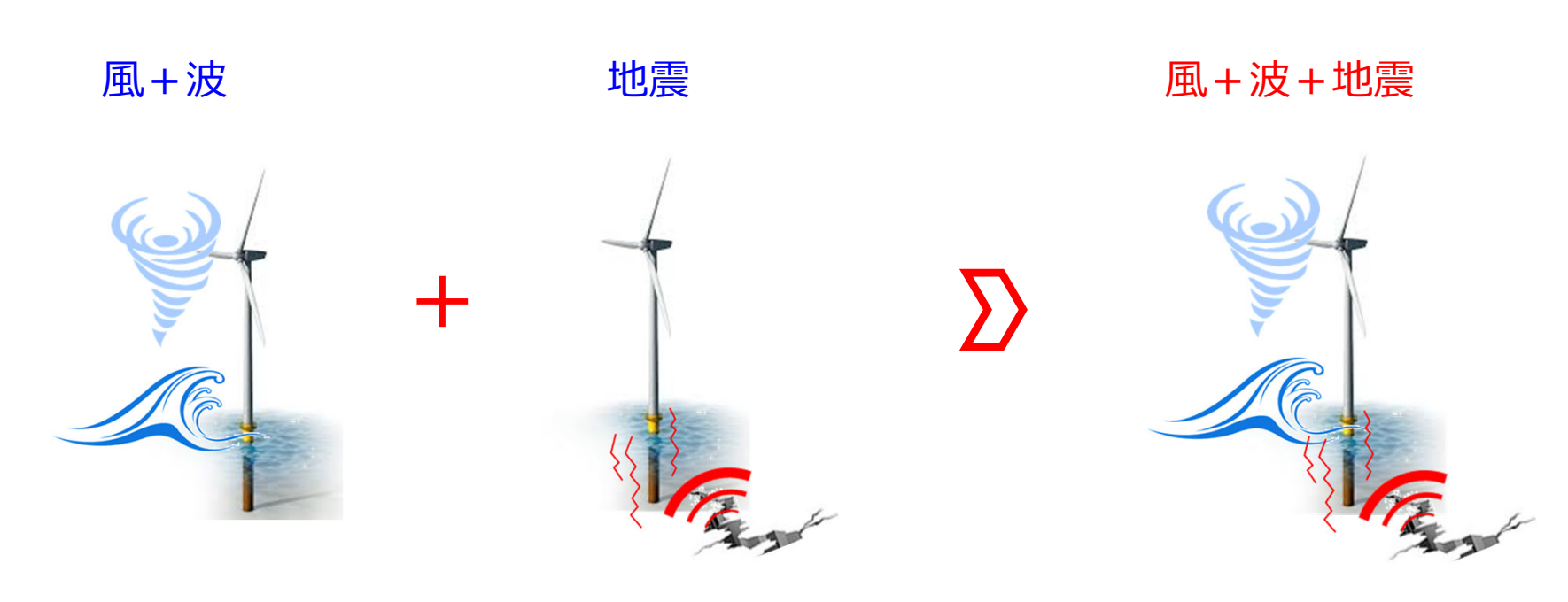




風と波と地震が同時に作用した時の風車応答



- ●モノパイル式洋上風力発電施設(洋上風車)の地震時荷重
 - ●風と波に対する空力弾性解析
 - ●地震に対する地震応答解析
 - ightharpoons
- ★ 荷重の相互作用や増幅効果など構造物の複合的な応答を評価できない。
- * 経済面で不利な設計断面となる可能性がある
- ■風と波と地震を同時に考慮して洋上風車の応答を評価することが重要





応答解析モデル



●改良OpenFAST (加島ら, 2023)

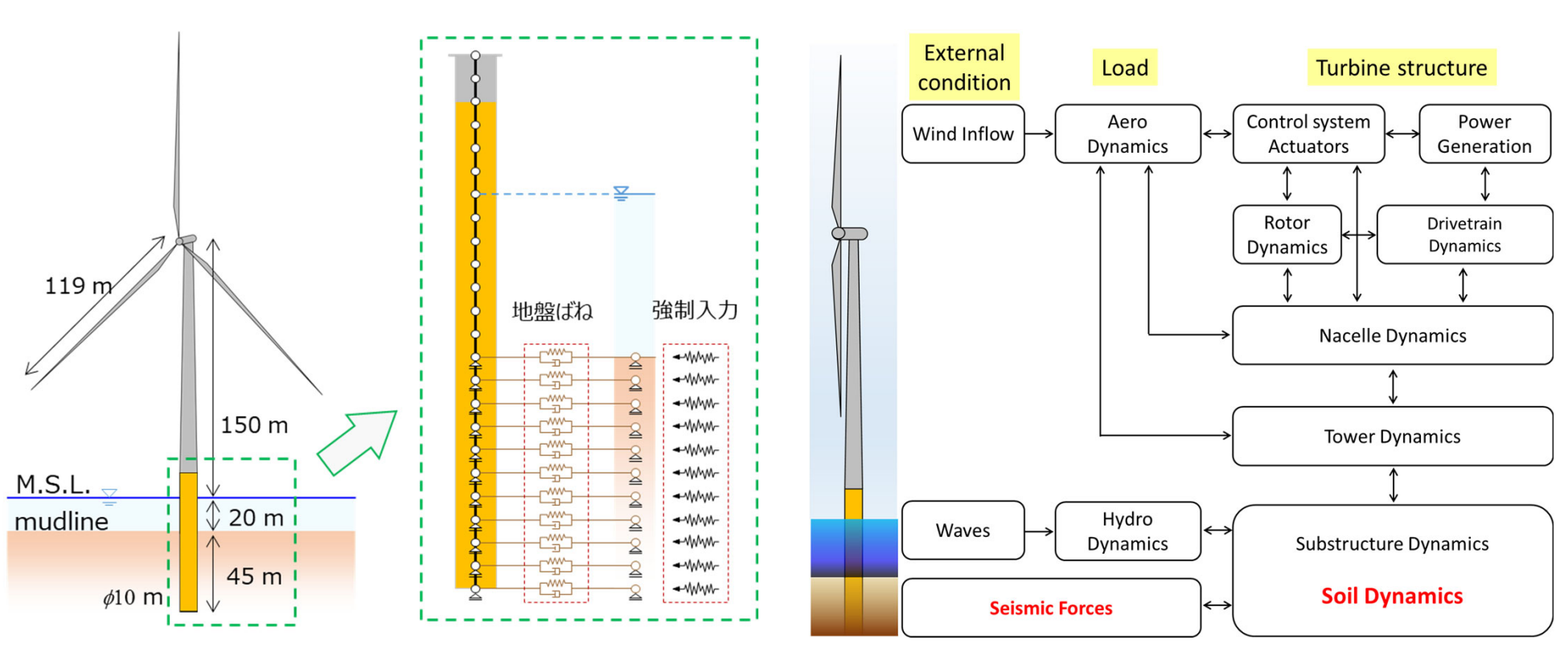
●空力弾性解析 : 翼素運動量理論

●流体力解析 : モリソン式 (構造物の振動を考慮)

●振動解析 : モーダル法, マルチボディダイナミックス法

●地震力 : 強制入力(FLIP結果)

●地盤-構造物相互作用: 地盤ばねモデル (線形)



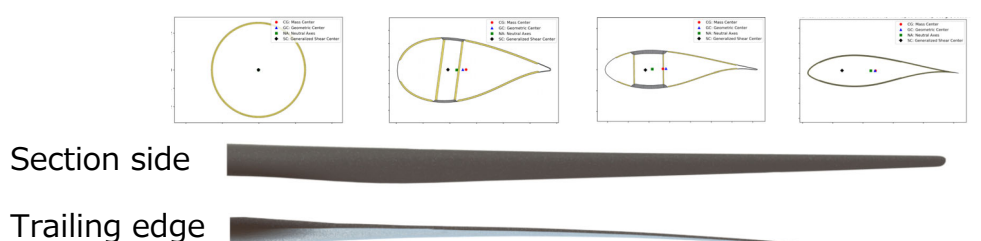


風車モデル



- ●15MWモノパイル型洋上風車モデル
 - ●IEA Wind TCPの解析コード比較検証で採用された定格出力





項目	諸元値	
	高度	M.S.L.+144.5 m
タワー頂部	径	6.5 m
	厚さ	24 mm
	高度	M.S.L.+15 m
タワー基部	径	10 m
	厚さ	41 mm
	長さ	80 m
T 110 111 +17	(根入れ)	(45 m)
モノパイル部	径	10 m
	厚さ	60 mm
ハブ	高度	M.S.L.+150 m
ブレード	長さ	119 m
カットイン	3 m/s	
定格風	10.6 m/s	
カットアウト	24 m/s	



解析条件



●風条件

●変動風: Kaimal乱流スペクトル

●平均風速: 4, 8, 10, 12, 16, 18, 24 m/s

●波条件

不規則波: JONSWAPスペクトル

●波高:2-8 m

●周期:6-16 s

●地震条件

●最大地震加速度: 122 Gal, 712 Gal

● 地震作用時刻:0 s

●地盤条件

●変位なし:海底面固定

変位あり(液状化は考慮なし)

• N值:5,50

地盤ばね:地盤反力係数×負担面積

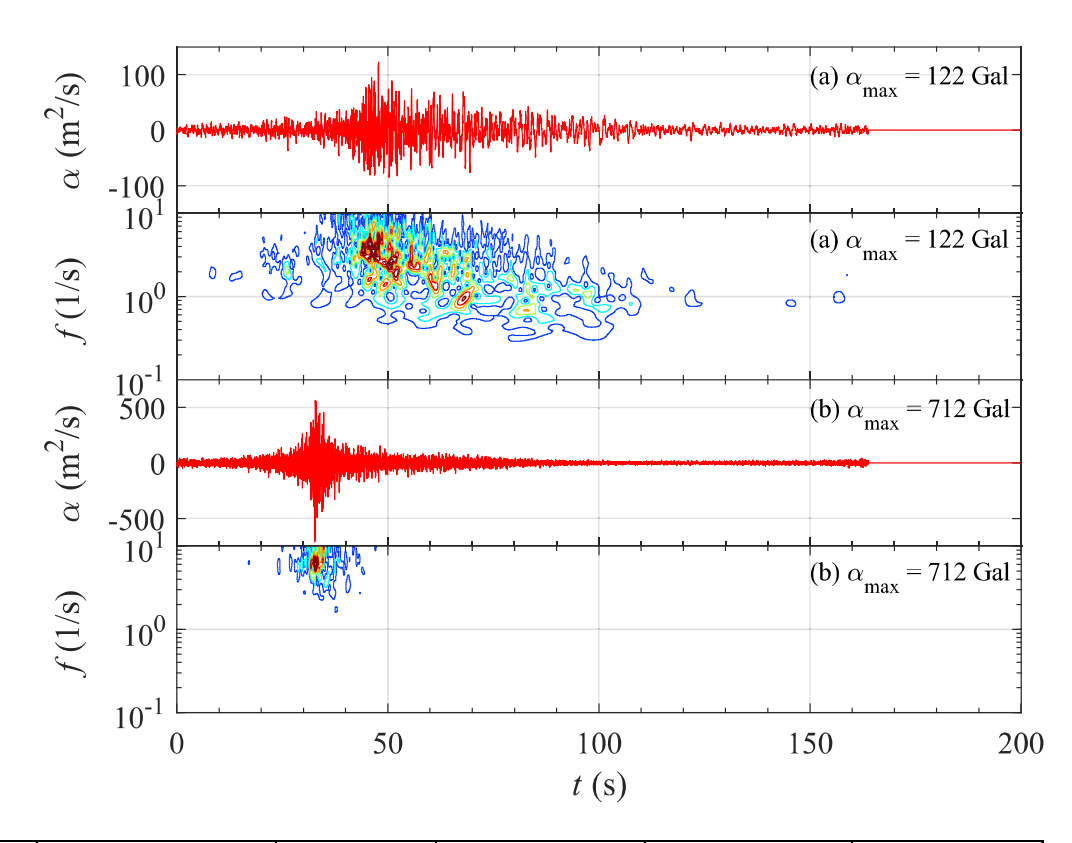
 $k_{CH} = 1500 \cdot a \cdot N$ (Chang, 1937)

●演算条件

● 出力サンプリング周波数:20 Hz

●解析時間:600 s

No.	1	2	3	4	5	6	7	8	9	10
H_{in} (m)	3	2	4	2	4	6	8	4	8	2
$T_{\rm in}$ (s)	6	8	10	12	12	12	12	14	14	16

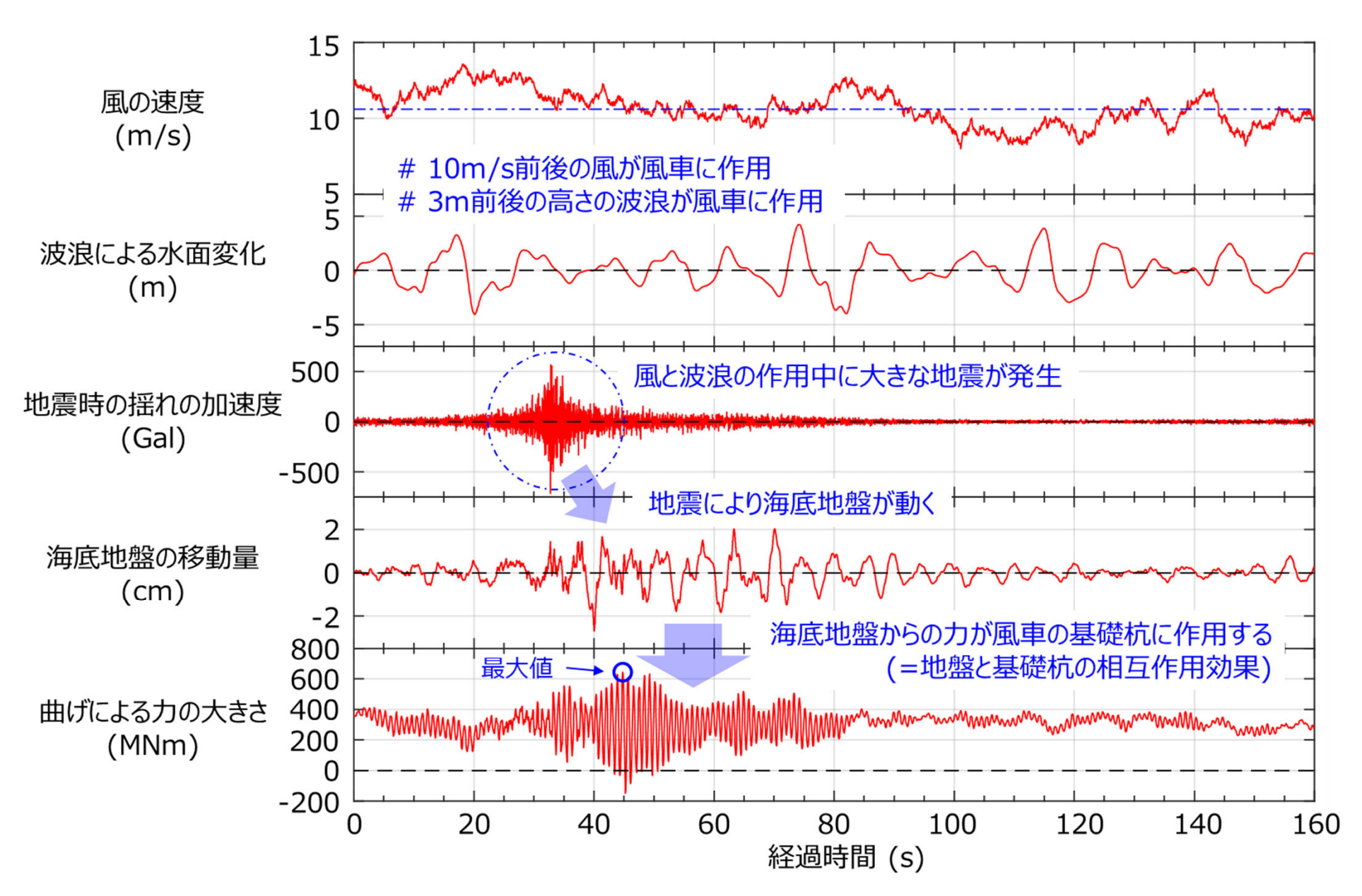


N値	せん断弾性係数 (kN/m²)	ポアソン比	単位体積重量 (t/m)	せん断波速度 (m/s)	Rayleigh減衰
5	4.5*10 ⁴	0.33	2.0	150	7.64*10 ⁻³
50	1.8*10 ⁵	0.33	2.0	300	3.82*10 ⁻³



地震が作用した時の風車応答

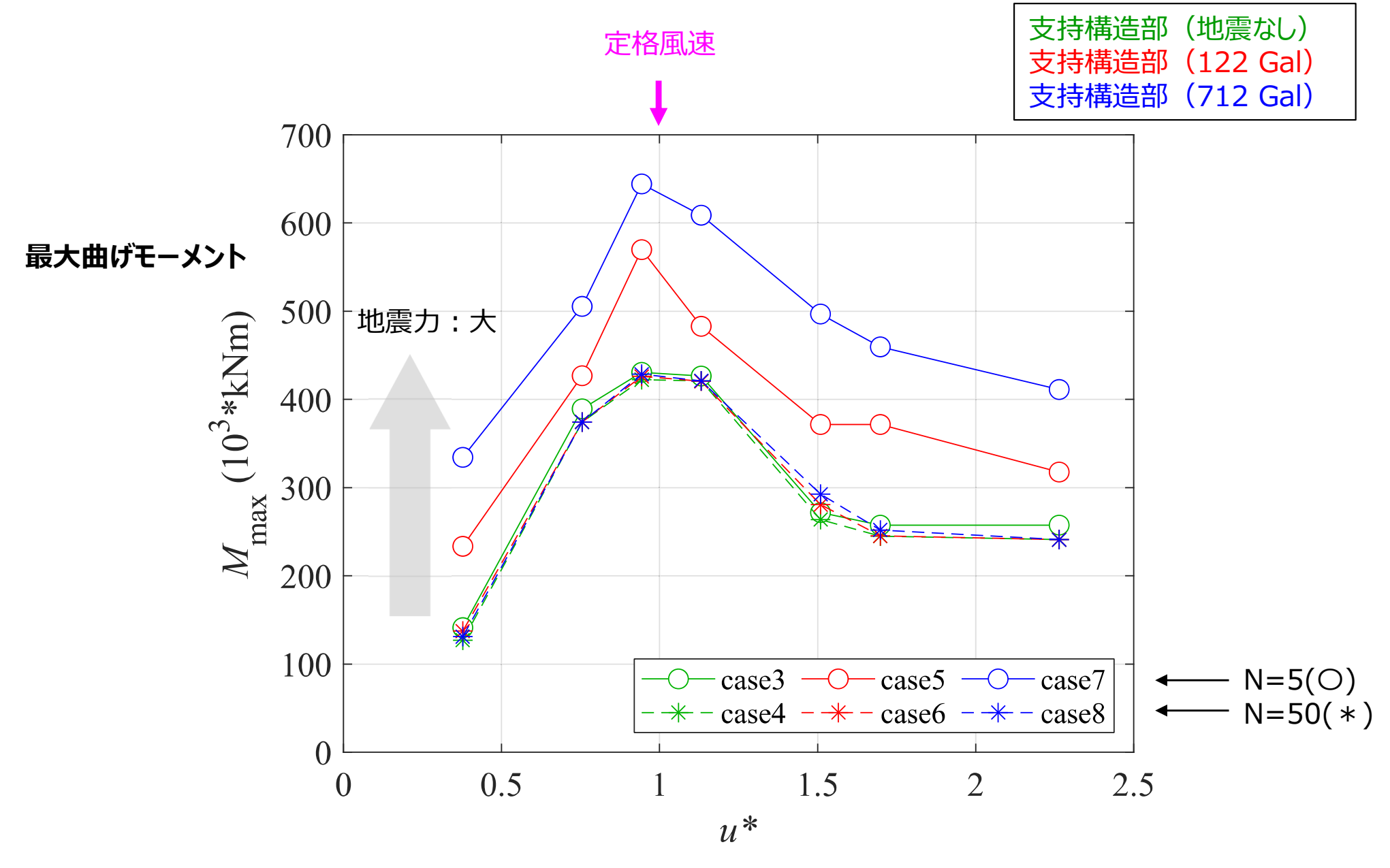






ハブ高さ平均風速と曲げモーメントの関係



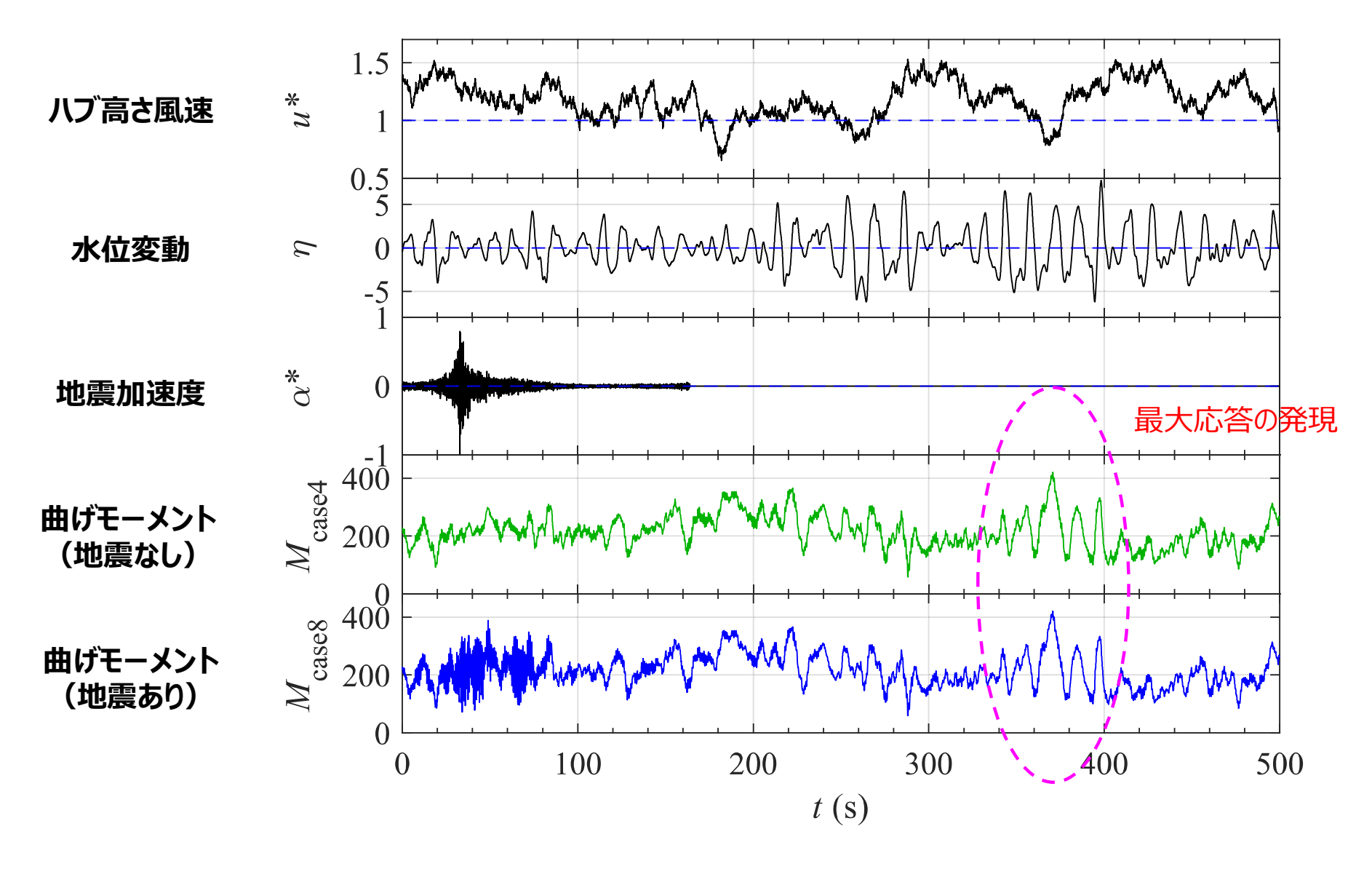




作用外力と最大応答発現の関係



●N値=50





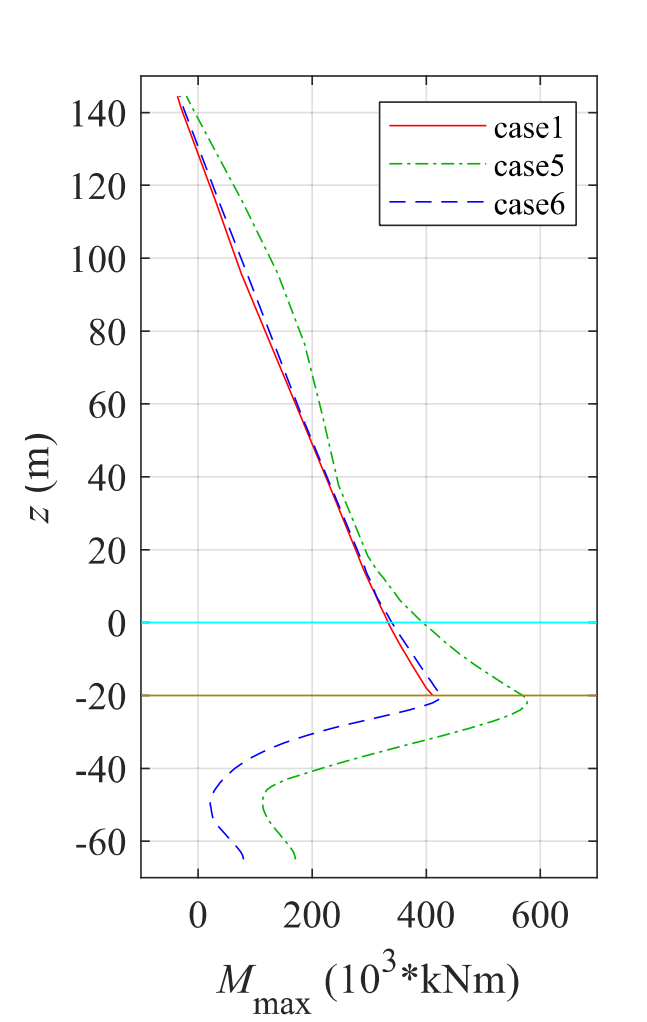
曲げモーメントの鉛直プロファイル



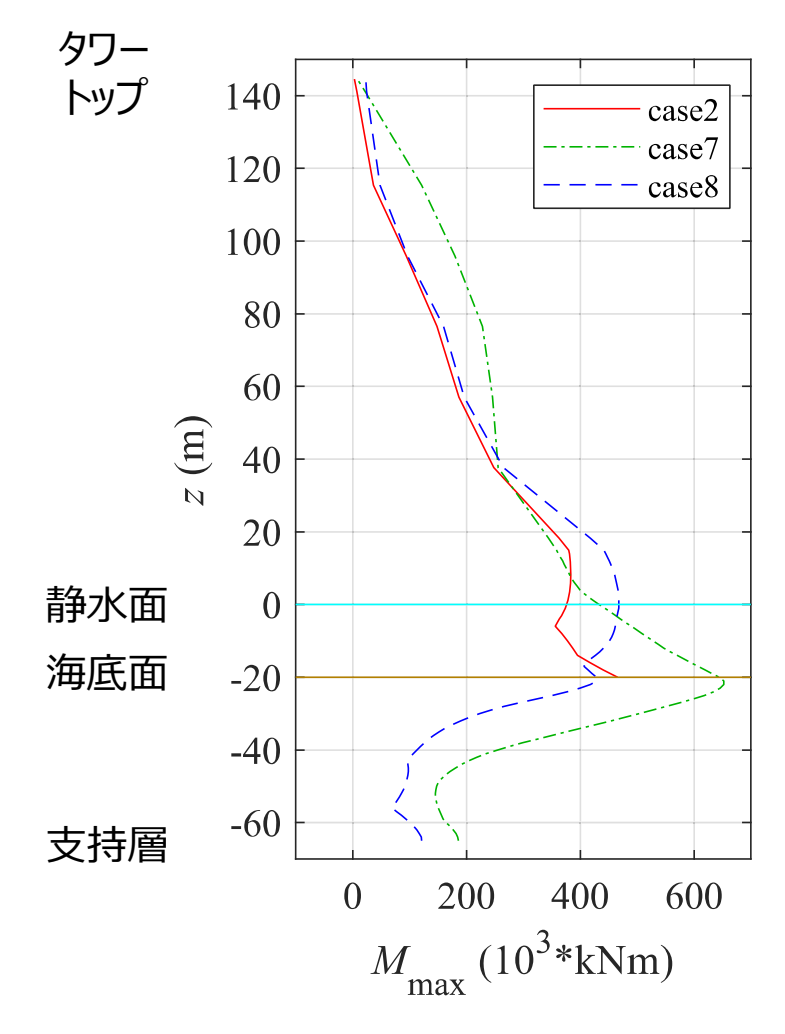
●ハブ高さ平均風速: 10 m/s

海底面 (N=∞) 支持構造部 (N=5) 支持構造部 (N=50)

地震波(122 Gal)



地震波 (712 Gal)

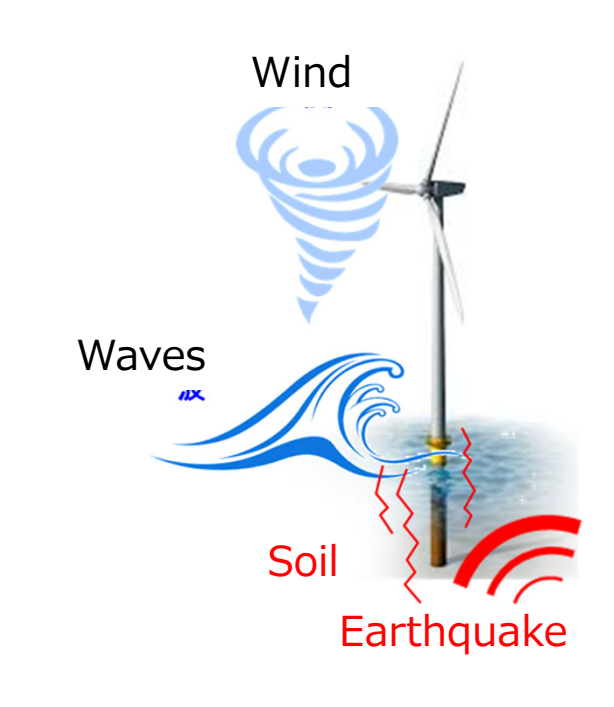




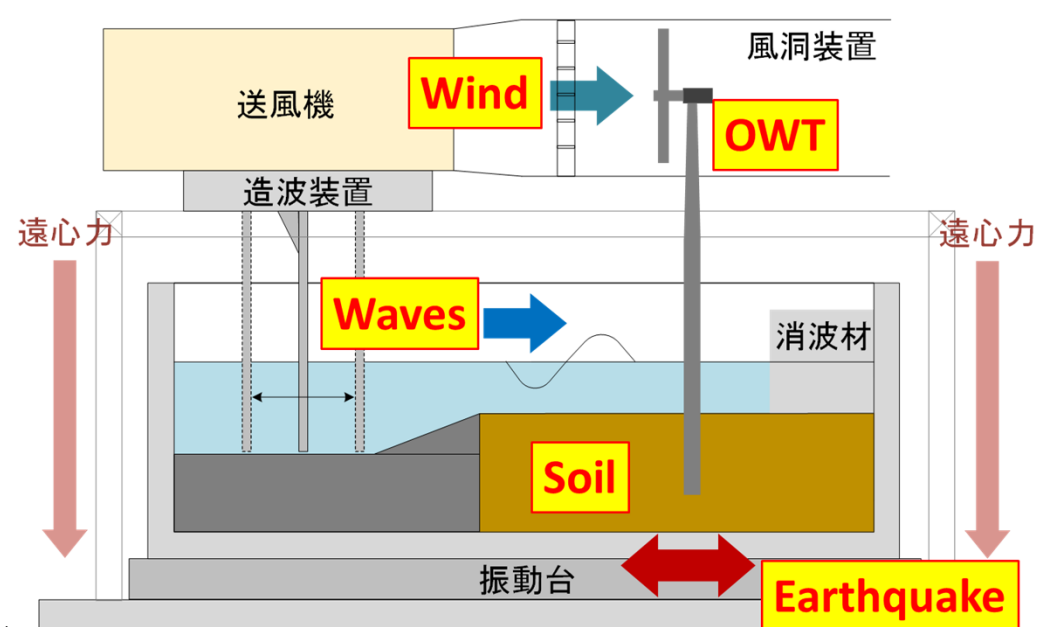
遠心模型実験(実験装置の開発)











遠心模型実験(第50回海洋開発シンポジウム;2025)



風・波・地震による複合外力作用下の 着床式洋上風車の遠心模型実験

高橋 英紀1・土田 雄大2・加島 寛章3・ 大矢 陽介4·栗原 大5·市川 友弘6

1正会員 東京海洋大学 学術研究院 海洋資源エネルギー学部門 (〒108-8477 東京都港区港南 4-5-7) E-mail: takahashi-h@kaiyodai.ac.jp (Corresponding Author)

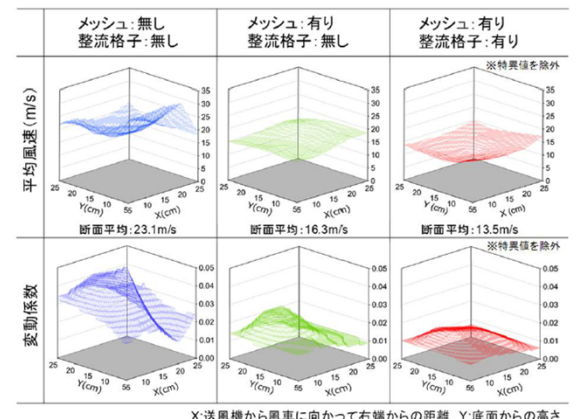
2正会員 (株) エコー (〒110-0014 東京都台東区北上野 2-6-4) (出向先:港湾空港技術研究所) 3 正会員 (国研) 海上·港湾·航空技術研究所 港湾空港技術研究所 海洋利用研究領域 (〒239-0826 神奈川県横須賀市長瀬 3-1-1)

4正会員 (国研) 海上·港湾·航空技術研究所 港湾空港技術研究所 地震防災研究領域 (〒239-0826 神奈川県横須賀市長瀬 3-1-1)

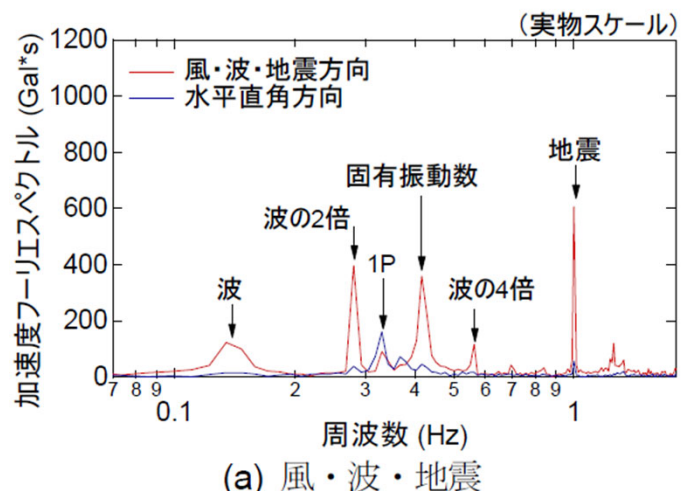
5 正会員 (国研) 海上・港湾・航空技術研究所 港湾空港技術研究所 地盤研究領域 (〒239-0826 神奈川県横須賀市長瀬 3-1-1)

6 (株) ジオデザイン 技術課 (〒108-0023 東京都港区芝浦 3-20-6)

表-2 風洞断面における平均風速と変動係数



X:送風機から風車に向かって右端からの距離、Y:底面からの高さ



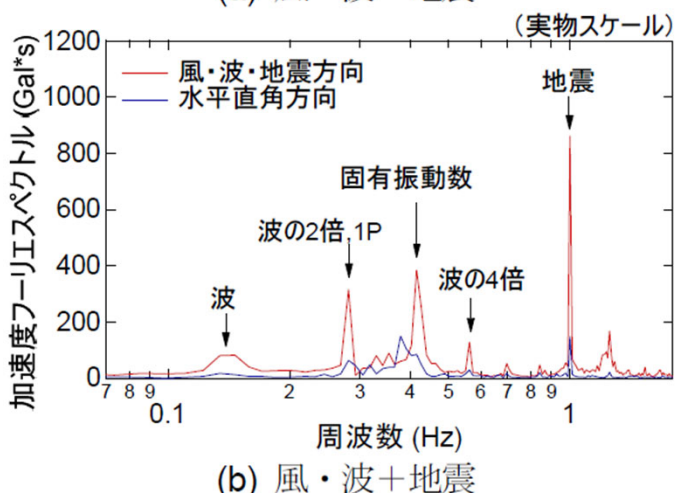
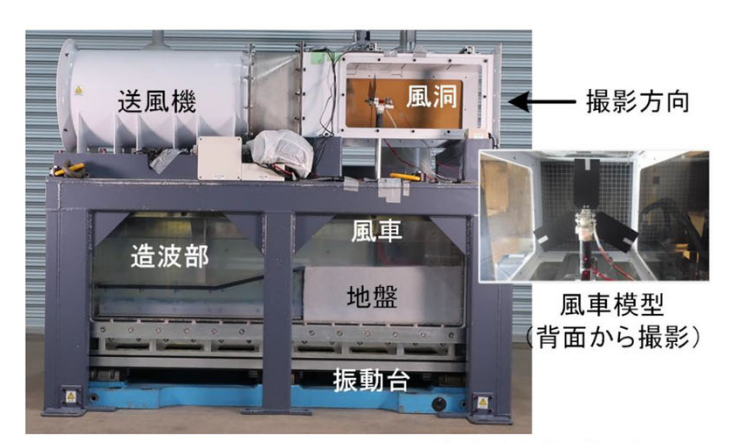


図-9 ナセルの加速度フーリエスペクトル



開発したシミュレータ(実験準備室で撮影)

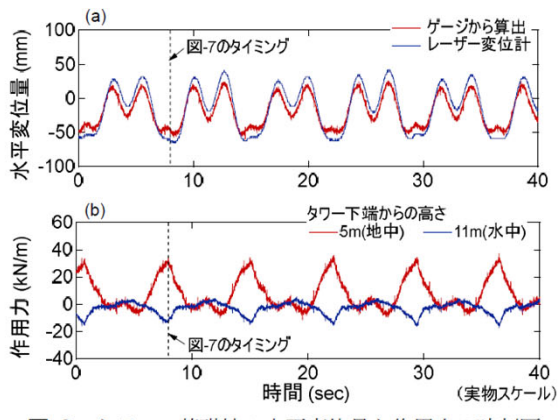


図-8 タワー・基礎杭の水平変位量と作用力の時刻歴 (風上方向の変位と作用力が正)



まとめと今後



- ●風,波,地震作用下の着床式洋上風車の応答 →ジャケット式等の複数杭構造
 - ●風-波-地震-地盤-構造連成解析コード
- ●浮体式洋上風車の応答評価,係留アンカーの耐震性評価

